

CENTRUL DE CERCETĂRI BIOLOGICE IAȘI
STAȚIUNEA DE CERCETĂRI „STEJARUL” PIATRA NEAMȚ



(89)

LUCRărILE PRIMULUI SIMPOZION
„PROVENIENȚA ȘI EFLUENȚA
ALUVIUNILOR“

(5—6 noiembrie 1986)

SUB REDACȚIA
IONIȚĂ ICHIM

PIATRA NEAMȚ

MODELAREA SI PREDICTIA SERIILOR DE TIMP. APLICATIE
IN STUDIUL EFLUENȚEI ALUVIUNILOR RIULUI
TROTUS

Ing. GHEORGHE DUMITRESCU, Mat.ec. CONSTANTIN URSU
Dr. IONITA ICHIM Dr. MARIA RADOANE

MODELLING AND PREDICTION OF THE TIME SERIES. APPLICATION IN THE SEDIMENT TRANSPORT STUDY OF THE TROTUS RIVER. We take into account the time series represented of discharge (Q) and suspension sediment (Q_s) of the Trotus river in 8 gauging stations for a period 35 years.

Work stages concerning processing the time series has been: determination of the adequate adjustment type; determination of the seasonally component; determination of the random component. Noted that cyclic trend, adjusted with 3rd degree polynomial, emphasize a minimum during 1969 - 1980, after which for 1980 - 1990 a new minimum is foreseen.

We utilize a ARMA model for the prediction of 24 months before of 1985 and 12 months after 1985; the results are given in the interval $[y(t) - \lambda, y(t) + \lambda]$.

1. Introducere

Seriile de timp (cronologice), asociate domeniului statistico-matematic, sunt din ce în ce mai mult în atenția diferiților specialisti, din cele mai diverse ramuri ale științei: economie, astronomie, medicină, geologie, hidrologie etc.

Interesul crescînd al acestui domeniu este probat prin înființarea unei Societăți de analiză a seriilor de timp și previziune (Anglia, 1980).

Seria de timp, definită ca un sir de valori pe care le înregistrează o variabilă în diferite momente de timp sau intervale succese de timp, caracterizează evoluția în timp a unor fenomene sau procese reale.

In studiul unei serii de timp apar două probleme principale:

In multe aplicații ale seriilor de timp, reprezentind fenomene naturale, acest operator este combinat cu un operator de diferențiere de ordin 12(sezonal) pentru a îndepărta nestaționaritatea seriilor

$$\nabla \nabla^{12} Y_t = (1-z)(1-z^{12}) Y_t$$

Un model de tip ARMA(p,q) poate fi descompus într-un model AR(p) și un model MA(q). Forma modelului este:

$$Y(t) + A_1 Y(t-1) + A_2 Y(t-2) + \dots + A_p Y(t-p) =$$

$$\varepsilon(t) + B_1 \varepsilon(t-1) + B_2 \varepsilon(t-2) + \dots + B_q \varepsilon(t-q)$$

unde ε_t este bogomot alb de medie 0 și dispersie constantă σ^2 .

Modelele de tip ARIMA modelează corect procesele de natură stocastică nestaționare. Întrucât modelele de tip ARMA(p,q) sunt cazuri particulare ale modelelor ARIMA(p,0,q) în care ordinul de diferențiere este 0, aplicarea modelelor ARMA la serii de timp nestaționare implică staționarizarea acestora prin diferențiere sau integrare propuse de BOX și JENKINS.

4. Considerații asupra implementării pe calculator a modelelor.

Pachete de program.

In ultimii ani au fost elaborate pachete de programe specifice domeniului serii de timp, precum: CAPTAIN(1972), TIMSAC '74(AKAIKE, 1975), IMSL, SANDIA(1980), ARIMAF(1982), TIMES(1982), PACK System(1984), AUTO&J (TERTISOO et al., 1985).

In prezent este disponibil în Biblioteca Națională de Programe doar TIMES(1982), care oferă abordarea modelelor prezentate exceptând cele de tip ARIMA, soluționate însă prin AUTO&J. Biblioteca TIMES este executabilă pe minicalculatorul de tip CORAL și INDEPENDENT.

Pentru analiza seriilor de timp s-au elaborat programe pe baza bibliotecii de subprograme STATLIB-MINI.

Aceste programe au fost necesare pentru:

- i) validarea datelor,
- ii)determinarea tendinței, componentelor sezoniere,
- iii)determinarea componentei aleatoare,
- iv)călculul mediilor mobile,
- v) pregătirea fișierelor în structura cerută de programele din TIMES.

5. Etapele prelucrării seriilor de timp pentru rîul Trotus

5.1. Codificarea, transferarea și validarea datelor pentru un număr de 8 puncte de măsurare din bazinul hidrografic Trotus.

Date au fost preluate pentru prelucrare pe calculator după co-

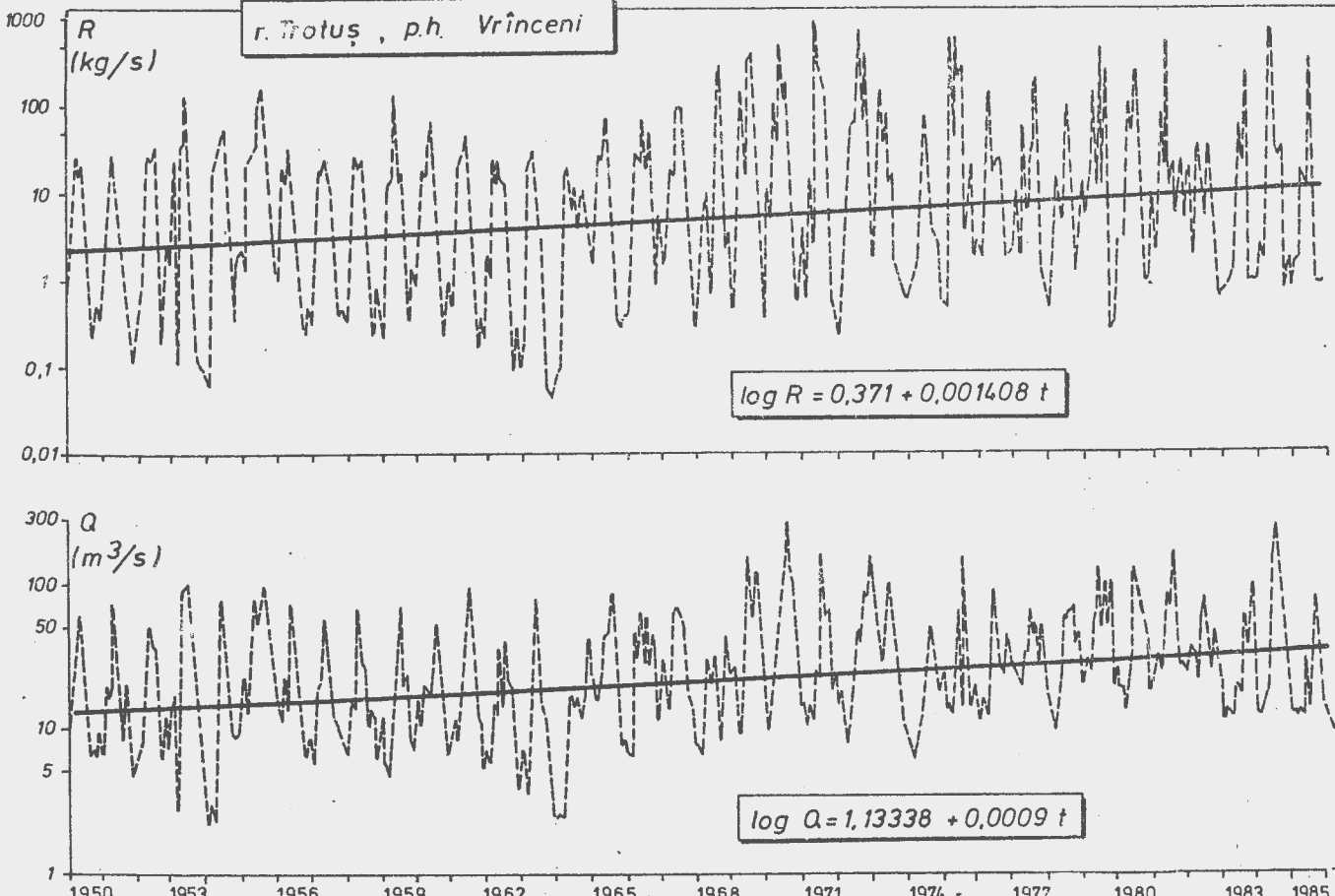


Fig.1. Seria de timp a scurgerii lichide (Q_t) și solide (R_t) a râului Trotus la postul hidrometric Vrînceni. Tendință liniară pentru perioada 1950 - 1985.

dificarea lor în modul următor:

- cod bazin hidrografic , 2 caractere;
- cod râu din bazinul hidrografic , 2 caractere;
- cod post hidrometric , 2 caractere;
- cod tip variabilă , 2 caractere;
- anul preluării datei , 4 caractere;
- luna preluării datei , 2 caractere;
- valoarea variabilei , 10 caractere(in format variabil cu punct zecimal).

Pentru valoarea variabilei s-a luat în considerare media lunări; în lipsa datelor din anumiți ani, din diferite puncte hidrometrice, s-a procedat la extrapolare pe baza relației $Y = A X^B$, astfel că numărul datelor pentru prelucrarea automată a ajuns la circa 12 500, repartizate pe cele 8 luni de măsurători ale variabilelor Q, Qs, pentru o perioadă de 36 de ani(1950 - 1986).

5.2. Repartizarea grafică a seriilor pe scară semilogaritmică

Datele seriilor de timp au fost apoi reprezentate grafic pe scară semilogaritmică (ca exemplu, ilustrăm în fig. 1 seriile Q(t) și Qs(t) la postul hidrometric Vrînceni pe rîul Trotuș). Din analiza graficelor a reieșit o puternică influență sezonieră și o parte aleatoare importantă. Prin examinarea grafică s-au elaborat tendințele vizuale, necesare ulterior pentru alegerea curbelor de tendință polinomiale determinate prin regresii.

5.3. Determinarea tipului de ajustare (tendință) cel mai adecvat.

S-au utilizat funcțiile polinomiale de gradul 1 - 4 și ilustrarea grafică (fig. 2) redă sugestiv principalele caracteristici deterministic ale seriilor analizate. Coeficientii funcțiilor obținute sunt listati în tabelele 1,2,3. Alături de coeficientii trend-ului, programul REGPOL a furnizat o serie de indicatori statistici (media, dispersia, coeficient de corelație, de determinare), precum și o analiză statistică a varianței (testul Fisher, suma patratelor abaterilor, eroarea standard a estimării etc.).

Din analiza reprezentărilor grafice cît și a funcțiilor rezultate, am reținut următoarele observații:

-pentru intervalul celor 432 luni care se cuprind în perioada 1950-1985 există o tendință generală de creștere a volumului scurgerii lichide și solide pe întreg bazinul Trotuș;

-panta de creștere a procesului diferă de la un post hidrometric la altul. Se poate observa, însă, o creștere a acestuia pe măsură ce dimensiunea bazinului crește;

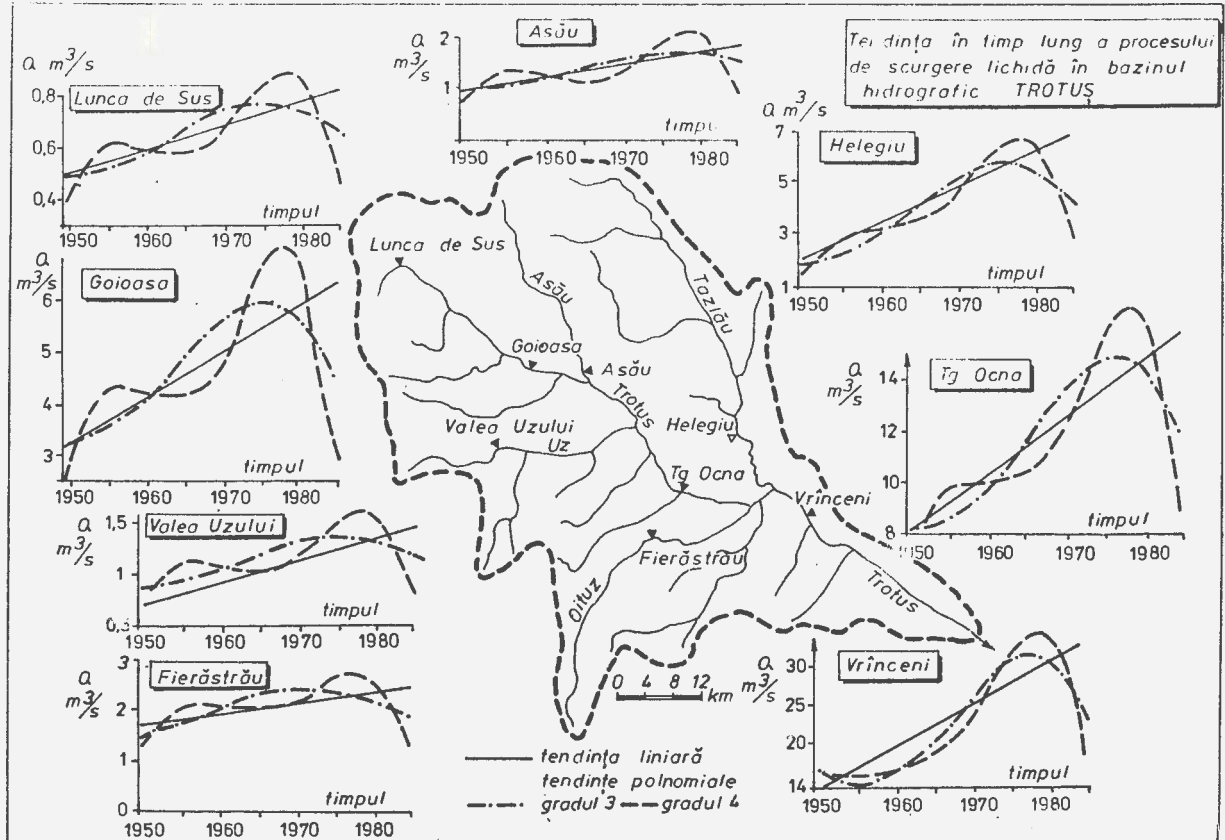


Fig. 2

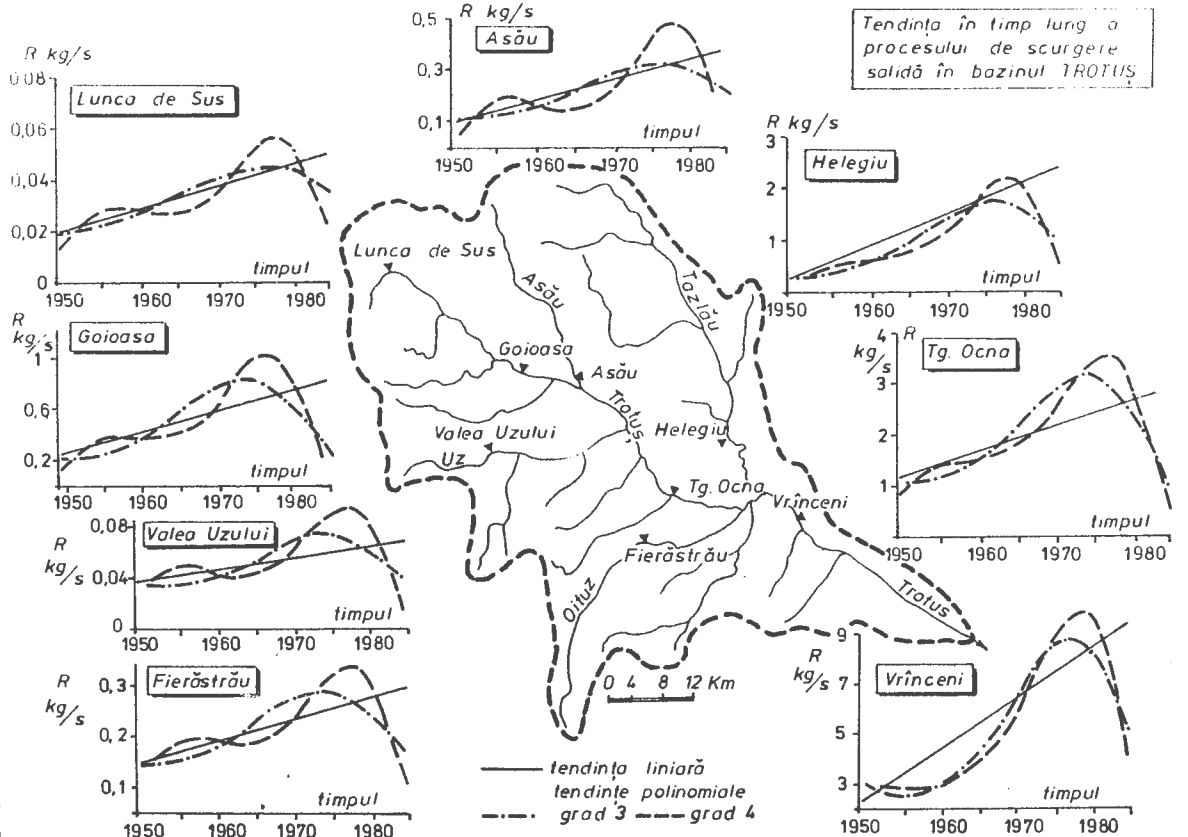


Fig. 3.

Tabelul 1. Elemente de calcul ale tendințelor centrale liniare ale variației
scurgerii lichide și solide în bazinul hidrografic Trotuș

Râu	Secțiunea	Debit lichid (Q, m ³ /s)			Debit solid (R, kg/s)		
		șirul de date 1950-1985	coef. regresiei liniare $\log Q = a + b \cdot t$	șirul de date 1950-1985	coef. regresiei liniare $\log R = a + b \cdot t$		
		măsură- extra- tori polate	a	b	măsură- extra- tori polate	a	b
Trotuș	Lunca de Sus	1974- 1950- 1985 1973	- 0,29735	0,000477	1976- 1950- 1985 1975	- 1,68188	0,000902
	Goiocasa	1950- 1985	0,5348	0,000623	1964- 1950- 1985 1963	- 0,5743	0,00113
	Tg. Ocna	1950- 1985	0,91469	0,000675	1984- 1950- 1985 1963	0,07836	0,000892
	Vrînceni	1950- 1985	1,13338	0,000909	1967- 1950- 1985 1966	0,371	0,001408
Araiu	Asău	1950- 1985	0,00662	0,000639	1977- 1950- 1985 1976	- 0,9544	0,001213
Tazlău	Helegiu	1950- 1964- 1963 1979	0,3116	0,00122	1971- 1950- 1985 1970	- 0,541	0,00215
Uz	Valea Uz	1968- 1950- 1985 1967	- 0,03447	0,000461	1969- 1950- 1985 1968	- 1,4209	0,00065
Oituz	Pierăstrău	1962- 1950- 1985 1961	0,2471	0,000345	1973- 1950- 1985 1972	0,8139	0,000648

Tabel 2. Elemente de calcul ale polinoamelor de gradul 3 ale variației
scurgerii lichide și solide în bazinul hidrografic Trotuș

Km ul Secțiunea		Debit lichid (Q , m^3/s)				Debit solid (R , kg/s)			
		Coeficienții polinomului de gradul 3 $\log Q = a + b \cdot t + c \cdot t^2 + d \cdot t^3$				$\log R = a + b \cdot t + c \cdot t^2 + d \cdot t^3$			
		a	b	c	d	a	b	c	d
Trotuș	Lunca de Sus	-0,324	$3,438 \cdot 10^{-4}$	$3,8 \cdot 10^{-6}$	$-5,8 \cdot 10^{-8}$	-1,709	$4,41 \cdot 10^{-4}$	$6,8 \cdot 10^{-6}$	$-2,7 \cdot 10^{-8}$
	Goiocasa	0,5125	$3,62 \cdot 10^{-5}$	$7,6 \cdot 10^{-6}$	$-3,5 \cdot 10^{-8}$	-0,6482	$-4,48 \cdot 10^{-4}$	$2,17 \cdot 10^{-5}$	$-3 \cdot 10^{-8}$
	Tg.Ocna	0,9162	$-2,88 \cdot 10^{-4}$	$8,8 \cdot 10^{-6}$	$-4,2 \cdot 10^{-8}$	0,0765	$-2,08 \cdot 10^{-3}$	$2,77 \cdot 10^{-5}$	$-1 \cdot 10^{-7}$
	Vrînceni	1,249	$-2,63 \cdot 10^{-3}$	$2,17 \cdot 10^{-5}$	$6 \cdot 10^{-8}$	0,5403	$-4,159 \cdot 10^{-2}$	$3,52 \cdot 10^{-5}$	$-1 \cdot 10^{-7}$
Asău	Asău	-0,0142	$2,59 \cdot 10^{-4}$	$4,2 \cdot 10^{-6}$	$-3,9 \cdot 10^{-8}$	-0,94061	$-5,95 \cdot 10^{-4}$	$1,54 \cdot 10^{-5}$	$-2,9 \cdot 10^{-8}$
Tazlău	Helegiu	0,2351	$1,25 \cdot 10^{-3}$	$7,1 \cdot 10^{-6}$	$-2,9 \cdot 10^{-8}$	-0,67008	$2,20 \cdot 10^{-3}$	$1,19 \cdot 10^{-5}$	$-3 \cdot 10^{-8}$
Uz	V.Uz	-0,055	$2,66 \cdot 10^{-4}$	$3,78 \cdot 10^{-6}$	$-8,56 \cdot 10^{-9}$	-1,401	$-1,724 \cdot 10^{-3}$	$2 \cdot 10^{-5}$	$-3,7 \cdot 10^{-8}$
Oituz	Fierăstrău	0,1662	$1,17 \cdot 10^{-3}$	$1,10^{-7}$	$-2,9 \cdot 10^{-8}$	-0,848	$-2,42 \cdot 10^{-4}$	$1,15 \cdot 10^{-5}$	$-2,43 \cdot 10^{-8}$

-tendință ciclică exrasă cu ajutorul polinomului de gradul 3 evidențiază un minimum la începutul seriei (1950 - 1965) și un maximum bine conturat în perioada 1970-1980, după care se predicează pentru 1980 - 1990 realizarea unui nou minim;

-tendință ciclică obținută cu polinomul de gradul 4 ajustează și mai complet seria, atât cea lichidă cât și solidă; se constată astfel, o evidențiere a unui al doilea ciclu de creștere centrat în 1955, dar de amplitudine mult redusă față de ciclul de creștere din 1970 - 1980.

5.4. Determinarea componentelor sezoniere

Analiza componentei sezoniere s-a făcut, utilizând periodograma Schuster, obținându-se o reprezentare a puterii medii a fiecărei armonici în dreptul perioadei acesteia. Maximum periodogramei Schuster (fig. 4) s-a înregistrat odată la 12 luni, ceea ce rezultă că anual există o oscilație dominantă, aşa cum de altfel ne-am așteptat. De asemenea, periodograma Schuster pune în evidență o serie de alte perioade cu pasul mai mare, din care reținem perioada de 2,5 - 2,7 ani și perioada de 18 ani. Ambele se întâlnesc atât la nivelul seriei de debit lichid cât și a celui de debit solid pentru cea mai mare parte a posturilor hidrometrice analizate. Valorile și maximele periodogramei Schuster au fost obținute prin intermediul subprogramelor SCHUSTER și PERSCH.

5.5. Determinarea componentei aleatoare

Din analiza grafică a seriilor de timp s-a concluzionat că modelul este de tip aditiv, motivat de faptul că amplitudinea seriei este relativ constantă

$$Y = T + S + A$$

unde T - tendință, S - componentă sezonieră, A - componentă rezidu-ală (aleatoare). Componenta aleatoară a fost determinată după eliminarea trend-ului și a componentei sezoniere, cu ajutorul programului DESEZ, ce a folosit subrute din biblioteca statistică STATIST.

5.6. Utilizarea pachetului TIMES pentru modelarea și predictia componentei aleatoare

După determinarea componentei aleatoare pentru fiecare punct hidrometric și fiecare variabilă s-au constituit fișiere de structură acceptată de programele AUTCOR, FPEAUT, CANARM, PRDCTR, specifice modelării și predicției seriilor de timp monovariabile.

Programul AUTCOR a furnizat funcția de autocorelație și autocovarianță, necesară pentru determinarea caracterului de nestaționaritate sau nestaționaritate a seriilor. După reprezentarea grafică (fig. 5 și 6) s-a constatat că seriile componentei aleatoare sunt de tip staționar, întrucât după 50 lag-uri, funcțiile tind spre 0 (spre

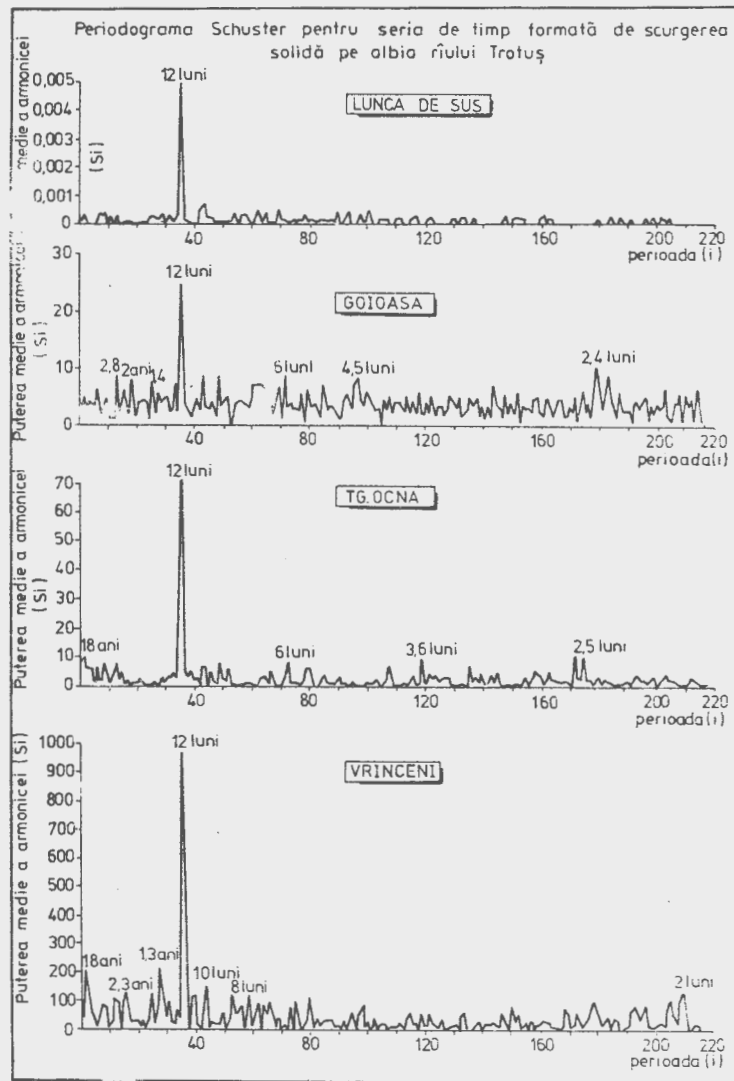


Fig. 4 .

*Functia de autocorelatie pentru
componenta aleatoare nestationarizata*

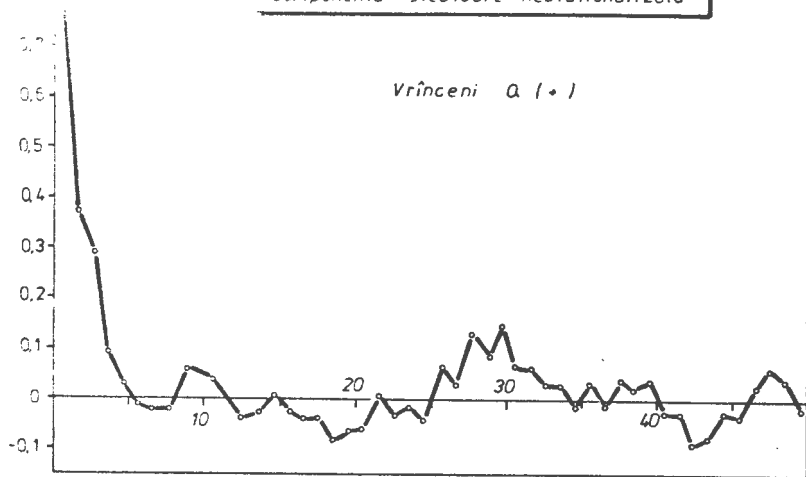
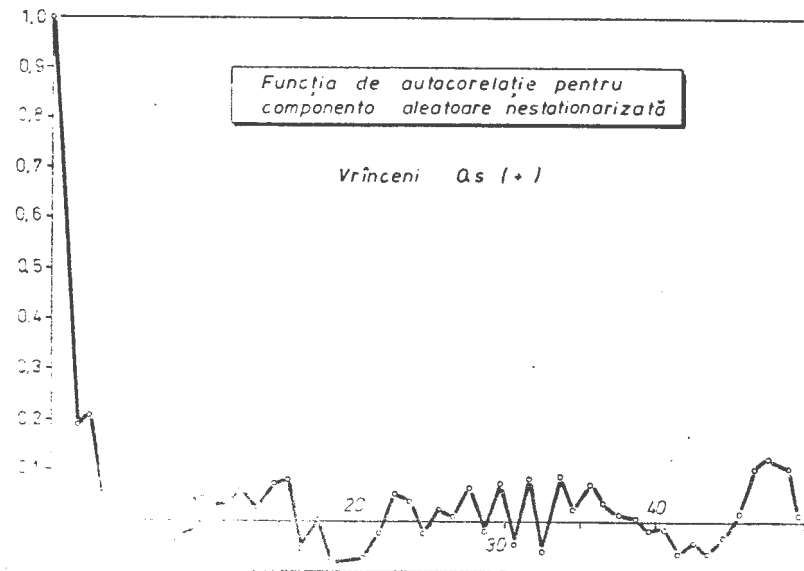


Fig. 5

*Functia de autocorelatie pentru
componenta aleatoare nestationarizata*

Vrînceni $\alpha_1 \neq 1$



amortizare).

Pentru staționarizarea seriei am utilizat un operator de diferențiere de ordin 12 după metodologia BOX-JENKINS:

$$Y_t = (1-z)^{12} Y_t$$

Obținând componentele aleatoare staționare am putut utiliza modele de tip ARMA, determinate cu programul CANARM. Modelul ARMA a fost obținut în două etape:

i) modelul de tip AR, determinat ca fiind cel mai optim pe baza criteriului informațional $AIC = N * D \log(SD(M)) + 2 * M$, unde SD - deviația standard, M - ordinul modelului; N - numărul datelor seriei. O primă concluzie a reiesit că majoritatea modelilor AR au ordinul 3, coeficienții AR sunt subunitari, condiții necesare pentru staționaritatea modelelor. Astfel, ecuația modelului pentru componenta aleatoare a seriei $Q_s(t)$ la postul hidrometric Vrînceni este:

$$Y(t) - 0,161 Y(t-1) - 0,187 Y(t-2) + 0,72 Y(t-3) = \varepsilon(t)$$
$$\lambda^2 = 8111,9$$

$$\text{minim criteriu } AIC(3) = 3894,5$$

Ecuația modelului de tip AR pentru componenta aleatoare a seriei $Q(t)$ la postul hidrometric Vrînceni este:

$$Y(t) - 0,3172 Y(t-1) - 0,2095 Y(t-2) + 0,0767 Y(t-3) = \varepsilon(t)$$
$$\lambda^2 = 647,32$$

$$\text{minim criteriu } AIC(3) = 2802,3$$

ii) modelul de tip ARMA obținut după analiza canonica prin minimul criteriului $DIC = \chi^2 - 2 GL$ (tabel 4), unde χ^2 - chi pătrat, GL - grade de libertate, are următoarea ecuație (pentru componenta aleatoare a seriei $Q_s(t)$ la postul hidrometric Vrînceni):

$$Y(t) - 0,986 Y(t-1) - 0,0279 Y(t-2) + 0,210 Y(t-3) = \varepsilon(t) - 0,825 \varepsilon(t-1) + 0,026 \varepsilon(t-2)$$
$$\lambda^2 = 8111,9$$

$$\text{minim DIC} = -1,93 \text{ atins la modelul de grad } M = 3.$$

Ecuația modelului de tip ARMA obținut prin minimul criteriului DIC = $\chi^2 - 2 GL$ (tabel 5):

$$Y(t) - 0,01669 Y(t-1) - 0,2928 Y(t-2) = \varepsilon(t) + 0,3006 \varepsilon(t-1)$$
$$\lambda^2 = 647,32$$

$$\text{Minim DIC} = -2,28 \text{ pentru modelul de ordin } M = 2.$$

Pentru predicție, în continuare s-a utilizat modelele AR și ARMA în programul PRDCTR, obținându-se numeric valorile componentei aleatoare pentru o perioadă de 24 luni (tabel 6 și 7).

Din analiza valorilor predictate am conchis că valorile reale se încadrează în domeniul $[Y_t - \lambda, Y_t + \lambda]$ unde λ - deviația stand a reziduurilor modelului, ceea ce ne arată că predicția este bună.

Tabel 6. Predictia componentei aleatoare a seriei Q (t) la postul hidrometric Vrinceni, utilizand modelul AUMA

N = 432

Anul/ luna	Ten- dință	Date reale			Date predictate				
		Comp. sezo- niară	Comp. alea- toare	Valoa- re reală	Componentă aleatoare predictată	Val. predictată	predic- tată	pre- dictată	pre- dictată
							+	-	
1984	1	-14,10	-13,26	15,6					
	2	-12,31	-14,71	16,0					
	3	2,43	16,50	62,0					
	4	29,50	198,37	271,0					
	5	24,50	151,32	219,0	67,92				
	6	21,36	7,80	72,4	88,69				
	7	2,19	6,71	52,2	19,35				
	8	-7,43	-9,33	26,6	-7,44				
	9	-9,94	-18,27	15,2	-1,75				
	10	-12,70	-18,36	12,4	-7,86				
	11	-11,17	-19,45	12,9	-8,54				
	12	43,58	-12,35	-19,43	11,8	-8,21			
1985	1	43,63	-14,10	-16,73	12,8	-8,43			
	2	43,69	-12,31	-19,48	11,9	-7,48			
	3	43,75	2,43	-15,48	30,7	-7,79			
	4	43,80	29,50	-61,10	12,2	-7,31			
	5	43,86	24,50	-36,36	32,0	-20,73			
	6	43,92	21,36	13,62	78,9	-22,74			
	7	43,97	2,19	-5,06	41,1	1,79			
	8	44,03	-7,43	-20,90	15,7	4,44			
	9	44,09	-9,94	-23,15	11,0	-8,33			
	10	44,14	-12,70	-21,34	10,1	-10,93			
	11	44,20	-11,17	-23,25	9,7	-9,61			
	12	44,25	-12,35	-21,10	10,8	-9,67	-4,63	-14,70	
1986	1	44,31	-14,10		-5,90	-0,62	-1,18	24,32	29,59
	2	44,36	-12,31		-1,71	3,79	-7,22	30,35	35,85
	3	44,42	2,43		-0,63	4,89	-6,17	46,22	51,75
	4	44,48	29,50		0,29	5,83	-5,24	74,27	79,81
	5	44,53	24,50		0,49	6,03	-5,04	68,74	
	6	44,59	21,36		0,67	6,21	-4,97		

7	44,65	2,19	0,69	6,23	-4,84	
8	44,70	-7,43	0,72	6,26	-4,81	
9	44,76	-9,94	0,73	6,26	-4,81	
10	44,81	-12,70	0,73	6,27	-4,81	
11	44,87	-11,17	0,73	6,27	-4,80	
12	44,93	-12,35	0,73	6,27	-4,81	
<hr/>			<hr/>			
1987	1	44,98	-14,10	0,73	6,27	-4,81
	2	45,04	-12,31	0,73	6,27	-4,81
	3	45,15	2,43	0,73	6,27	-4,31
	4	45,2	9,50	0,73		
	5	45,27	-4,50			
	6	45,32	21,36			
	7	45,38	2,19			
	8	45,43	-7,43			
	9	45,49	-9,94			
	10	45,55	-12,70			
	11	45,60	-11,17			
	12	45,66	-12,35			

Obs.: Valeare predictată = Tendință + componentă sezonieră + componentă aleatoare predictată

Valearea predictată \pm = Tendință + componentă sezonieră + componentă aleatoare predictată \pm

Tabel 7. Predicția componentei abatere a seriei $Q_s(t)$ la postul hidrometric Vrînceni, utilizând modelul ARMA
 $N = 432$

Anul	Ten- dință	Comp. sezo- nieră	Componenta aleatoare			Q_s predictat		
			predic- ția	predic- ția	predic- ția	Valoarea predicției	+ +	- -
1986	1	63,30	-10,52	17,913	23,526	-10,212	70,7001	76,313
	2	63,44	-13,16	32,340	35,000	0,826	82,75	85,410
	3	63,57	5,89	34,711	49,800	14,880	104,370	119,459
	4	63,71	10,66	35,078	52,171	17,251	109,445	126,538
	5	63,84	13,70	32,465	52,543	17,613		
		63,97	36,07	29,398	49,969	14,961		
	7	63,11	3,19	26,222	46,940	11,855		
	8	64,24	-0,43	23,556	43,799	8,644		
	9	64,38	-11,70	21,484	40,154	5,956		
	10	64,51	-12,30	20,036	39,095	3,873		
	11	64,65	-11,13	19,112	37,652	2,419		
	12	64,78	-10,27	18,597	36,730	1,493		
1987	1	64,34	-10,52	18,369	36,215	0,978		
	2	65,15	-13,16	18,324	35,987	0,750		
	3	65,14	5,69	18,383	35,943	0,706		
	4	65,31	10,66	18,487	36,001	0,742		
	5	65,41	13,70	18,601	36,105	0,868		
	6	65,54	36,07	18,704	36,219	0,982		
	7	65,72	3,19	18,787	36,322	1,085		
	8	65,85	-0,43	18,847	36,405	1,168		
	9	65,99	-11,70	18,887	36,466	1,228		
	10	66,12	-12,30	18,911	36,506	1,268		
	11	66,25	-11,13	18,923	36,530	1,292		
	12	66,39	-10,27	18,927	36,546	1,308		

Q_s predictat = Tendință + componentă sezonieră + componentă aleatoare predictată.

Q_s predictat \pm = Tendință + componentă sezonieră + componentă aleatoare predictată \pm

Tabel 4. Rezultatele analizei canonice pentru determinarea modelului ARMA al seriei $Q_s(t)$ la postul hidrometric Vrînceni

N = 432

Ordinul modelului (P)	Corelație canonica (R)	R^2	2 (chi pătrat)	Grade de libertate (GL)	DIC(P)
0	1,000	1,000	9999,0	16	9967,0
1	,2068	0,043	26,38	9	8,384
2	0,1306	0,017	7,51	4	-0,493
3	0,130*	0,000	0,07	1	-1,927

*coeficienti de corelație canonica a căror valoare teoretică este egală cu 0.

Tabel 5. Rezultatele analizei canonice pentru determinarea modelului ARMA al seriei $Q_s(t)$ la postul hidrometric Vrînceni

N = 432

Ordinul modelului (P)	Corelație canonica (R)	R^2	2 (chi pătrat)	Grade de libertate (GL)	DIC(P)
0	1,000	1,000	16191,32	12	16167,319
1	0,2120	0,045	21,58	6	9,581
2	0,0631*	0,004	1,72	2	-2,278

*coeficienti de corelație canonica a căror valoare teoretică este egală cu 0.

Pentru determinarea unor valori de predicție mai bune, am utilizat metoda predicției pas cu pas, în care iterativ, punctul predicit a fost atașat seriei inițiale pentru determinarea unui alt model de tip ARMA.

6. Concluzii

Din analiza modelelor rezultate și reprezentate grafic, precum și a tendințelor studiate a reieșit următoarele observații:

i) pentru intervalul 1950 - 1985, există o tendință generală de creștere a volumului scurgerii lichide și solide pe întreg bazinul hidrografic Trotuș.

ii) panta de creștere a procesului diferă de la un post hidrometric la altul. S-a observat o creștere pe măsură ce dimensiunea bazinului crește.

iii) tendința ciclică extrasă,ajustată cu un polinom de gradul 3,evidențiază un minim la începutul seriei (1950 - 1965) și un maxim bine conturat în perioada (1970 - 1980),după care se predicează pentru 1980 - 1990,realizarea unui nou minim.

iv) tendința ciclică obținută cu polinomul de gradul 4 ajustează și mai complet seria,atât ceea ce lichidă cît și solidă; se constată conturarea unui al doilea ciclu de creștere centrat în 1955, dar de amplitudine mult mai redusă decât în perioada 1970 - 1980.

v)modelele obținute ARIMA de ordin 3,ne indică staționaritatea lor iar predicția obținută pentru o perioadă anterioară de 24 luni și una posterioară de 12 luni,se încadrează în intervalul $[Y_t - \lambda, Y_t + \lambda]$.

vi)pentru îmbunătățirea modelelor ar fi necesară disponibilitatea pachetului AUTOB&J,ce permite determinarea unor modele de tip ARIMA.

BIBLIOGRAFIE

- BOX G.E.P.,G.M.JENKINS (1976),*Time Series Analysis:Forecasting and Control*,San Francisco,Holden Day.
- ICHIM I.,MARIA RADOANE,C.URSU,GH.DUMITRESCU (1986),Posibilități de abordare cibernetică a sistemelor geomorfologice fluviale,Institutul de Cercetare Stiințifică și Inginerie Tehnologică pentru Tehnica de Calcul și Informatică,A VI-a Sesiune națională de comunicări științifice,București,22-25 septembrie 1986.
- PEGRAM G.G.S.,J.D.SALAS,D.C.BEES,V.YEVJEVICH (1980),Stochastic properties of water storage,Hydrology Papers,Colorado State Univ.,Fort Collins,50 p.
- RAMACHANDRA RAO A.(1980),Statistical characteristics of some Indian rain hydrologic time series,Mausam,31,2,273-286 p.
- RADOANE MARIA,I.ICHIM,C.URSU,GH.DUMITRESCU (1986),Aplicații ale analizei seriilor de timp în studiul unor procese fluviale,A VI-s Sesiune națională de comunicări științifice,Institutul de Cercetare Stiințifică și Inginerie Tehnologică pentru Tehnica de Calcul și Informatică,București,22-25 septembrie 1986.
- TERTISCO M.,P.STOICA,TH.POPESCU (1985),Modelarea și predicția seriilor de timp,Ed.Academiei R.S.R.,298 p.